

文章编号: 1000- 0615(2003)05- 0398- 05

黄鳝精子活力检测和精子入卵早期过程观察

周定刚, 温安祥

(四川农业大学动物科技学院, 四川 雅安 625014)

摘要:采用 Olympus 3×51 相差系统显微镜和 SQIAS-1000 彩色精液质量图文分析系统检测黄鳝精子活力。结果表明, 在 NaCl 溶液浓度为 0~0.3% 时, 黄鳝精子激活比例随溶液浓度升高而极显著增加 ($P < 0.01$); 当 NaCl 浓度达到 0.7% 时, 精子激活比例、直线运动速度和鞭毛摆动频率均显著 ($P < 0.05$) 或极显著 ($P < 0.01$) 降低。扫描电镜观察显示: 黄鳝成熟卵卵壳膜上的精孔区呈漏斗状凹陷, 其底部中央可见一精孔管外孔, 口径约 $4.22 \pm 0.66 \mu\text{m}$; 黄鳝精子入卵速度缓慢, 受精过程较长, 从精子附着于卵球表面到精孔管完全堵塞, 约 30s~5min。

关键词: 黄鳝; 精子活力; 精子入卵; 扫描电镜术; 相差显微镜术

中图分类号: Q132.1; S917 文献标识码: A

The sperm motility and initial stages of penetration of sperm into eggs in *Monopterus albus*

ZHOU Ding-gang, WEN An-xiang

(Animal Science and Technology College, Sichuan Agricultural University, Ya'an 625014, China)

Abstract: The sperm motilities were determined by using phase contrast microscope and analytical system of computer. The results show the sperm activity rate significantly increases ($P < 0.01$) with the concentration of NaCl when that of NaCl ranges from 0 to 0.3% in *Monopterus albus*, but the sperm activity rate, linear velocity of the spermatozoal motion and the frequency of flagellar beat of spermatozoa significantly reduce ($P < 0.05$) when the concentration of NaCl exceeds 0.7%. The micropylar region of the mature egg is like a funnel cave in *M. albus* under scanning electron microscopy. A micropylar canal is located at the central section of the bottom of the cave, about $4.22 \pm 0.66 \mu\text{m}$ in diameter. The penetration of sperm into the eggs is slow and the process of the fertilization is long. The sperm originally arrives at the surface of the chorion of *M. albus* 30s after insemination. The micropylar canal is blocked by the fertilized plug within 5 minutes after insemination.

Key words: *Monopterus albus*; sperm motility; penetration of sperm into egg; scanning electron-microscopy; phase contrast microscopy

精子活力通常是指正常活动精子的质量, 广义而言则泛指精子群体的运动状况。精子活力是研究精液保存和人工授精等的基础, 其激活与抑制机制的研究具有较高的理论与实用价值。有关鱼类精子活力, 国内外学者曾作过大量有价值的工作, 但国内这方面的试验^[1-5]绝大多数都是借助普通光镜观察, 不仅研究条件受到限制, 而且难免存在人为误差。受精作用是极为重要的生物学过程, 历来受到广

大学者的关注。自上世纪 70 年代以来, 人们对鱼类卵子壳膜结构和精子入卵过程已进行过许多研究^[6, 7], 但黄鳍(*Monopterus albus*) 精子入卵过程未见报道。本文采用相差显微镜和电脑分析系统检测黄鳍精子活力, 并对精子入卵早期过程进行扫描电镜观察, 旨在为鱼类受精生物学积累资料, 并为黄鳍人工授精技术提供理论依据。

1 材料和方法

1.1 实验材料

试验用黄鳍于 2002 年 6 月购自四川省雅安市农贸市场。选择部分雄性亲鳍解剖, 摘取精巢、挤出精液镜检。将精子活动正常而未污染的精液用于测定精子活力和人工授精。另一部分雌性亲鳍经 HCG 诱导排卵后, 营干法人工授精, 其卵样用于观察精子入卵过程。

1.2 实验方法

1.2.1 精子活力检测

淡水鱼类体液的渗透浓度为 265~325 毫渗摩尔(mOsm)^[8], 约与 0.75%~0.95% NaCl 溶液的渗透浓度相等。本试验用低渗溶液激活精子, 研究不同浓度梯度的 NaCl 溶液对黄鳍精子活力的影响, 将实验分为 A~F 6 组。每次用微量移液器分别吸取蒸馏水以及 0.1%、0.3%、0.5%、0.7% 和 0.9% 的 NaCl 溶液 50 μL 至洁净的载玻片上, 再以实验用玻棒蘸取少许精液与载玻片上的溶液混匀, 加盖玻片置于 Olympus 3×51 相差显微镜下观察。用 SQIS-1000 彩色精液质量图文分析系统自动检测黄鳍精子活力。室温 28.5 ℃。选择以下指标评价精子群体运动状况。

精子活率(%) (精子激活比例): 已激活的活动精子占检测精子总数的百分比。

精子活力(正常活动精子质量): 按世界卫生组织(WHO) 推荐的方法, 将其定为 4 级: A 级, 呈快速直线前向运动的精子; B 级, 呈慢速或非直线前向运动的精子; C 级, 原地颤动或旋转的非前向运动的精子; D 级, 无活力的不动精子(非死亡精子)。

精子寿命(精子运动时间): 从精子激活开始至运动停止所经历的时间。

精子运动速度(μm·s⁻¹) 和鞭毛摆动频率(Hz): 用 F 检验、q 检验(LSR) 和 μ 检验比较各组间的差异程度。

1.2.2 精子入卵过程观察

将催产后获得的成熟鳍卵分别于授精前 10s、30s、1min、2min、3min、4min 及授精后 5min, 用 2.5% 戊二醛于 4 ℃固定 3h 以上, 然后用磷酸缓冲液(pH7.2)冲洗 3 次, 每次 10min。梯度酒精脱水, 最后用乙酸异戊酯取代, 临界点干燥, 真空喷涂仪喷金, KYKY-1000B 型扫描电镜观察, 摄影。加速电压 25 kV。

2 结果

2.1 黄鳍精子活力

不同浓度 NaCl 溶液对黄鳍精子活力的影响(表 1)。

精子激活比例: 在 NaCl 浓度为 0~0.3% 范围内, 黄鳍精子激活比例随溶液浓度升高而极显著增加($P < 0.01$); 当 NaCl 浓度达到 0.7% 时, 精子激活比例开始极显著降低($P < 0.01$)。

精子直线运动速度: 0.1%~0.3% 的 NaCl 溶液使精子直线运动速度显著($P < 0.05$) 或极显著加快($P < 0.01$); 当 NaCl 浓度升高至 0.5% 以后, 精子直线运动速度则显著减慢($P < 0.05$)。

精子鞭毛摆动频率: 蒸馏水和 0.1%~0.3% NaCl 溶液能极显著刺激黄鳍精子鞭毛摆动($P < 0.01$); 而 0.5%~0.9% NaCl 溶液, 则使精子鞭毛摆动频率受到显著抑制($P < 0.05$)。

精子运动时间: 在 0.1%~0.3% NaCl 溶液中, 呈快速直线前向运动的精子较多, 精子运动时间较

长; 0.9% NaCl溶液使精子活力受到抑制, 具有明显延长精子寿命的作用。

表 1 NaCl溶液对黄鳍精子活力的影响

Tab. 1 The effect of NaCl concentration on sperm motility of *Monopterus albus*

组别 group	NaCl 浓度(%) NaCl concentration	平均精子 活率(%) average sperm activity rate	精子活力(%) sperm motility				平均直线运速度 ($\mu\text{m} \cdot \text{s}^{-1}$) average linear velocity of spermatozoal motion	平均鞭毛摆动频率(Hz) average frequency of flagellar beat of spermatozoa	精子寿命(min) life span of spermatozoa
			A	B	C	D			
A	0	21.58	0.70	0	29.90	78.40	3.33±0.92	6.82±1.42	4
B	0.1	40.64	8.60	4.30	27.80	59.40	8.37±1.02	6.30±0.18	58
C	0.3	70.37	3.70	7.30	59.30	29.60	3.89±1.97	6.73±0.73	74
D	0.5	79.36	0	0	79.40	20.60	1.47±0.54	4.47±2.46	76
E	0.7	13.59	0	0	13.60	86.40	1.23±0.09	2.56±0.35	90
F	0.9	9.56	0	0	9.50	90.50	0.66±0.29	2.43±1.16	243

2.2 精孔区形态结构

黄鳍成熟未受精卵的动物极壳膜上, 有一呈漏斗状凹陷的精孔区, 其外口与壳膜相延续, 直径15.52~21.43 μm 。精孔区内壁平滑、无明显沟嵴、底部中央可见一圆形精孔管外孔, 口径4.22±0.66 μm , (图版-1)。

2.3 黄鳍精子入卵早期过程

黄鳍精子入卵速度缓慢, 授精后30s才观察到有精子附着于卵球表面(图版-2)。授精后3min, 精子聚集于精孔区周围。授精后4min, 有的精子已进入精孔区内(图版-3)。授精后5min, 精孔管被塞状物堵塞, 遗留在其外的精子尾部互相缠绕, 类似畸形精子(图版-4), 卵膜表面的其它精子已失去活力, 全部解体(图版-5)。此外, 授精后3min时, 在去掉壳膜的卵子皮质中可观察到皮层小泡内的分泌颗粒(图版-6)。授精后4min, 有的皮层小泡已完全破裂而呈蜂窝状空泡, 其内已观察不到分泌颗粒(图版-7), 即皮层反应约发生于授精后3~4min。

3 讨论

位于卵膜表面的受精孔, 是无顶体鱼类精子入卵的唯一通道。不同鱼类的精孔区结构和精孔管大小不尽相同。玫瑰无须鱼(*Barbus conchonius*)、大银鱼(*Protosalanx hyalocaranus*)的卵膜孔区(即精孔区)具有放射状沟和嵴的特异结构^[9,10]。泥鳅(*Misgurnus anguillicaudatus*)精孔区侧壁呈左涡旋状^[11], 尼罗罗非鱼(*Tilapia nilotica*)的精孔区则略呈螺旋状排列^[12]。据观察, 黄鳍卵壳膜上的精孔区与三角鲂(*Megalobrama terminalis* Richardson)^[13]、鲤(*Cyprinus carpio*)^[7]等类似, 其侧壁无放射状沟嵴和涡旋状纹路, 只呈现平滑漏斗状凹陷(图版-1)。宋慧春等^[10]认为, 精孔区的沟嵴结构与螺旋状结构一样, 为精子云集和导入精孔管提供了有利的条件, 精子入卵除化学因素外, 还存在着不容忽视的机械动力因素。精子入卵机制较为复杂, 以上推论是否适合黄鳍等其它鱼类, 还有待更多观察结果支持和论证。

众所周知, 多数硬骨鱼类的精孔管都只允许一个精子通过, 属单精入卵单精受精。但据我们观察, 黄鳍精子头部直径为2.08±0.33 μm , 而精孔管外孔口径约4.22±0.66 μm , 超过精子头部2倍。Kudo等^[14]也观察到鲤精孔管内径比其精子头部大一倍多的现象。他们认为, 当鲤第1个精子和精子穿入部接触后, 穿入部即迅速形成巨大的受精锥阻塞精孔管, 以阻止第2个精子进入, 从而保证鲤仍为单精受精。试验中在黄鳍的精孔管未发现由微绒毛所构成的精子穿入部, 但观察到精孔管堵塞前存在皮层反应(图版-6, 7)。据 Kobayashi 和 Yamamoto^[15]报道, 鱼类皮层反应所释放的物质分布于卵周隙和精孔管内。黄鳍精孔管外的堵塞物是否由皮层小泡释放而来, 皮层反应与单精受精有何关系, 黄鳍是否存在多精入卵单精受精机制, 值得深入研究。

据观察, 黄鳍精子入卵的速度比其它某些硬骨鱼类缓慢。多数鲤科鱼类如三角鲂^[13]、鲤^[7]等, 授精

后2~5s精子已开始进入精孔管, 授精30s后精孔管即完全被絮状物堵塞。而黄鳝授精后30s才在其卵壳膜上观察到精子, 精孔管堵塞则是发生于授精后5min(图版-4)。黄鳝精子入卵缓慢, 受精过程较长, 可能与其精子活力相对较差有关。黄鳝精子在28.5℃被0.1%NaCl激活时, 其平均直线运动速度为 $8.37 \pm 1.02 \mu\text{m} \cdot \text{s}^{-1}$, 精子鞭毛摆动频率为 $6.30 \pm 0.18 \text{Hz}$ (表1)。而鲤精子在20℃被激活时, 精子运动平均速度达 $103 \pm 11 \mu\text{m} \cdot \text{s}^{-1}$, 精子鞭毛摆动频率为 $50 \sim 60 \text{Hz}^{[16]}$, 分别为黄鳝的16.35倍及7.91~9.52倍。

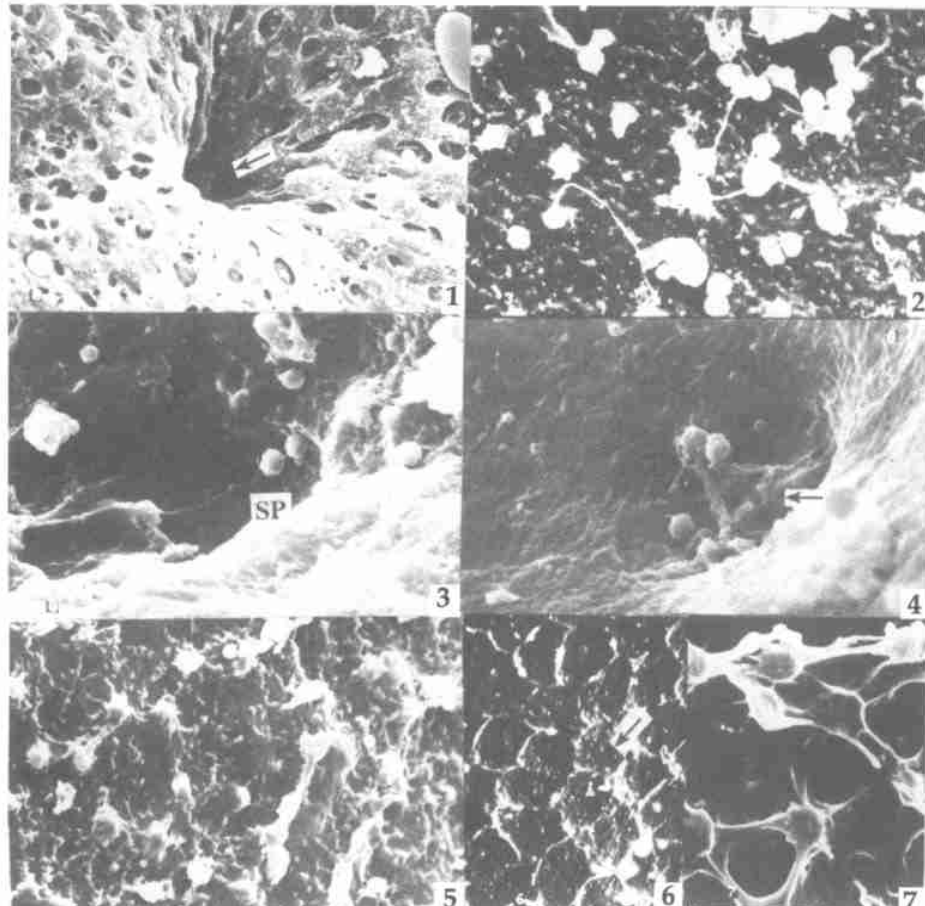
在NaCl浓度为0~0.3%范围内(表1), 黄鳝的精子激活比例随溶液浓度升高而极显著增加($P < 0.01$); 当NaCl浓度达到0.7%时, 精子激活比例、直线运动速度和鞭毛摆动频率均显著($P < 0.05$)或极显著($P < 0.01$)降低。以上结果显示, NaCl特别是 Na^+ (维持细胞兴奋性和渗透压的主要阳离子)在一定范围内具有提高精子活率和加快精子运动速度的作用。精子鞭毛每对双联管中的亚管A含有动力蛋白(dynein), 其动力蛋白臂(dynein arm)具有ATP酶活性, 起着与横纹肌肌球蛋白横桥类似的机能作用^[17]。即当细胞内 Ca^{2+} 浓度升高, 激活动力蛋白臂ATP酶活性时, 由ATP分解产生的能量促使并列或相邻的双联管滑行, 从而使鞭毛产生摆动。可见 Ca^{2+} 是调节鞭毛摆动的重要离子。通常细胞膜去极化可使 Ca^{2+} 电导增加, 细胞内 Ca^{2+} 浓度升高, 但大多数细胞膜的去极化主要取决于 Na^+ , 而不是 Ca^{2+} ^[18]。这提示 Na^+ 可以通过诱发细胞膜去极化产生动作电位, 进而引起细胞内 Ca^{2+} 浓度的变化, 起到间接激活精子运动的作用。但是, 细胞内 Ca^{2+} 的逆浓度梯度外运是与 Na^+ 的顺浓度梯度内流相耦联的(生物细胞普遍存在的 $\text{Ca}^{2+}-\text{Na}^+$ 交换机制); 当细胞外介质中 Na^+ 浓度过高时, 反会使细胞内 Ca^{2+} 浓度降低。可能这就是环境中高 Na^+ 抑制精子活力的原因之一。 Na^+ 不仅与 Ca^{2+} 存在 $\text{Ca}^{2+}-\text{Na}^+$ 交换机制, 还与 K^+ 存在 Na^+-K^+ 交换机制。因此, Na^+ 似可通过离子间的互作及对渗透压等多方面的影响, 起到直接、间接激活或抑制精子运动的作用。精子寿命是反映精子活力的又一指标。鱼类精子寿命受多种因素影响, 除存在个体差异外, 受环境温度影响较大。例如, 在0.5%NaCl介质中, 28.5℃时黄鳝精子寿命为76min(表1); 31℃时为23min; 42℃时仅为2min(后者为倒置显微镜观察, Micravarm plate MDF-10HF-O微加热板测定结果)。这可能与高温使介质渗透压升高, 精子严重脱水、代谢增强及ATP迅速耗尽等有关。

参考文献:

- [1] Li B, Tang Z P, Jie Y H. The observation of sperm motility and inquiry of inseminating method in *Protosalanx hyalocaranus* [J]. Water Conservancy and Fishery, 1997, (5): 31~32. [李 勃, 康作鹏, 解玉浩. 大银鱼精子活力观察与人工授精方法的探讨[J]. 水利渔业, 1997, (5): 31~32.]
- [2] Luo F, He X F. Impact of the sodium chloride concentration on spermatic vitality of *Arossochelus manticola* (Günther) [J]. Sichuan Journal of Zoology, 1999, 18(2): 70~72. [罗 芬, 何学福. 氯化钠浓度对宽口光唇鱼精子活力的影响[J]. 四川动物, 1999, 18(2): 70~72.]
- [3] Huang B F, Luo J B. The effect of sodium chloride concentration on sperm vitality of *Cyprinus carpio* red variety [J]. Journal of Hubei Agricultural College, 2000, 20(1): 62~64. [黄辨非, 罗静波. 氯化钠溶液对兴国红鲤精子活力的影响[J]. 湖北农学院学报, 2000, 20(1): 62~64.]
- [4] Wei K J, Wang H P, Lin J J, et al. A preliminary study of the effect of sodium chloride concentration on sperm vitality in *Tenualosa reevesi* Richardson [J]. Freshwater Fisheries, 1996, 26(4): 9~10. [魏开金, 王汉平, 林加敬, 等. 氯化钠浓度对鲥鱼精子活力影响的初步观察[J]. 淡水渔业, 1996, 26(4): 9~10.]
- [5] Xie E Y, He X F, Yang Q F. The habits and characteristics of reproduction and vitality and life span of spermatozoa in *Tor (Folifer) brachilis brachilis* (Peters) [J]. Chinese Journal of Zoology, 1999, 34(2): 5~8. [谢恩义, 何学福, 阳清发. 红尾副鱊的繁殖习性以及精子的活力与寿命[J]. 动物学杂志, 1999, 34(2): 5~8.]
- [6] Zhang T Y, Feng S M, Pan Z Z. Scanning electron microscopic observations on the sperm entry into the eggs of goldfish *Carassius auratus* [J]. Zoological Research, 1993, 14(2): 166~170. [张天荫, 封树芒, 潘忠宗. 金鱼精子入卵过程的扫描电镜观察[J]. 动物学研究, 1993, 14(2): 166~170.]
- [7] Pan G B, Zou S P, Zou G W. Scanning electron microscopic observation of penetration of sperm into the eggs of gynogenesis-matured *Cyprinus carpio* [J]. J Fish Sci China, 1999, 6(3): 28~31. [潘光碧, 邹世平, 邹桂伟. 诱导鲤雌核发育时精子入卵的扫描电镜观察[J]. 中国水产科学, 1999, 6(3): 28~31.]
- [8] Tong S L. The physiology of fishes [M]. Beijing: Science Press, 1988. 176. [童裳亮. 鱼类生理学[M]. 北京: 科学出版社, 1988. 176.]
- [9] Amange D, Iyengar A. The micropyle: a sperm guidance system in teleost fertilization [J]. Development, 1990, 109(2): 495~500.
- [10] Song H C, Wu K M, Shen O Z, et al. Electron microscopic observation on the micropyle structure of *Protosalanx hyalocaranus* [J]. Acta Zool Sin, 1999, 45(1): 8~14. [宋慧春, 吴坤明, 沈其璋, 等. 大银鱼卵膜孔结构的电镜观察[J]. 动物学报, 1999, 45(1): 8~14.]
- [11] Wu K M, Shen Q Z, Liu G H. Study of the vortical structure of the micropyle on the matured egg in *Misgurnus anguillicaudatus* [J]. Science Bulletin, 1991, (5): 1175~1178. [吴坤明, 沈其璋, 刘根洪. 泥鳅成熟卵受精孔涡旋状结构的研究[J]. 科学通报, 1991, (5): 1175~1178.]

1178.]

- [12] Huang Y S. Ultrastructure of the mature egg and initial stages of sperm penetration in *Tilapia nilotica* [J]. *Acta Zoologica Sinica*, 1990, 36(3): 227–230. [黄永松. 尼罗罗非鱼成熟卵结构及精子入卵的早期电镜观察[J]. 动物学报, 1990, 36(3): 227–230.]
- [13] Wang R X, Zhang Y R, Fu C H, et al. The observation on the initial fertilization of freshwater bream by electronic scanning microscope [J]. *Journal of Fisheries of China*, 1982, 6(4): 314–320. [王瑞霞, 张毓人, 傅仓生, 等. 鲢鱼受精早期精子入卵的扫描电子显微镜观察[J]. 水产学报, 1982, 6(4): 314–320.]
- [14] Kudo S, Sato A. Fertilization cone of carp eggs as revealed by scanning electron microsopy [J]. *Dev Growth Diff*, 1985, 27(2): 121–128.
- [15] Kobayashi W, Yamamoto T S. Light and electron microscopic observations of sperm entry in the chum salmon egg [J]. *J Exp Zool*, 1987, 243(2): 311–322.
- [16] Perche G, Jeulin C, Andre F, et al. Relationship between sperm ATP content and motility of carp spermatozoa [J]. *J Cell Sci*, 1995, 108: 747–753.
- [17] Roger E. Animal physiology (Third edition) [M]. New York: W·H·Freeman and Company, 1988. 376–377.
- [18] Gao T L. Cell physiology [M]. Beijing: Science Press, 1984. 533–534. [高天礼(译). 细胞生理学[M]. 北京: 科学出版社, 1984. 533–534.]



图版说明 Explanation of Plate

1. 成熟未受精卵的精孔区形态, 示精孔管外孔(箭头), $\times 2000$; 2. 授精后 30s, 示卵壳膜上的精子, $\times 3500$; 3. 授精后 4min 后, 示已进入精孔区内的精子(SP), $\times 4000$; 4. 授精后 5min, 示精孔管外的堵塞物(箭头)和异常精子, $\times 4000$; 5. 授精后 5min, 示已完全解体的精子, $\times 3000$; 6. 授精后 3min, 示皮层小泡内尚未释放的皮层颗粒(箭头), $\times 1600$; 7. 授精后 4min, 示发生皮层反应后, 皮层小泡呈蜂窝状结构, $\times 2000$

1. Morphology of the micropylar region on the matured unfertilized egg, showing the outer opening (arrow) of the micropyle canal, $\times 2000$; 2. SEM of an egg 30 seconds after insemination, showing spermatozoa on the surface of chorion of *Monopterus albus*, $\times 3500$; 3. SEM of an egg at 4 minutes after insemination, showing sperm (sp) to enter into the micropylar region, $\times 4000$; 4. SEM of an egg 5 minutes after insemination, showing the fertilization plug (arrow) and abnormal sperm outside the micropylar canal, $\times 4000$; 5. Showing the degenerating spermatozoa 5 minutes after insemination, $\times 3000$; 6. SEM of an egg 3 minutes after insemination, showing the unreleased cortical granule in the cortical alveoli, $\times 1600$; 7. The cortical alveoli shows honeycomb-like structure after the cortical reaction 4 minutes after insemination, $\times 2000$